

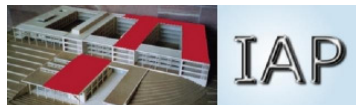
F8SR - Ein Hochstromspeicherring für leichte Ionen

M. Droba
J.W.Goethe Universität Frankfurt am Main

Unter Mitarbeit von: N.Joshi, P. Nonn, O. Meusel, K. Schulte, U.Ratzinger

Motivation

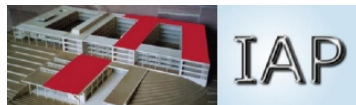
- Einschluss im Magnetfeld - Speicherrung
 - longitudinales Führungsfeld
 - Gyration
 - gekrümmtes Feld
 - Driften ($R \times B$, $\text{grad}B$, $E \times B \dots F \times B$)
 - Raumladungskompensation



22.05.2010

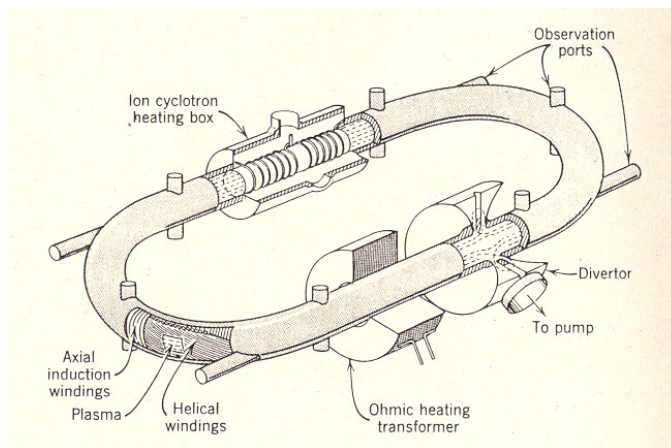
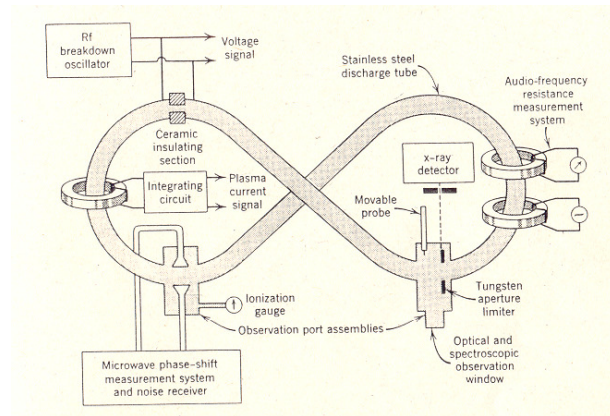
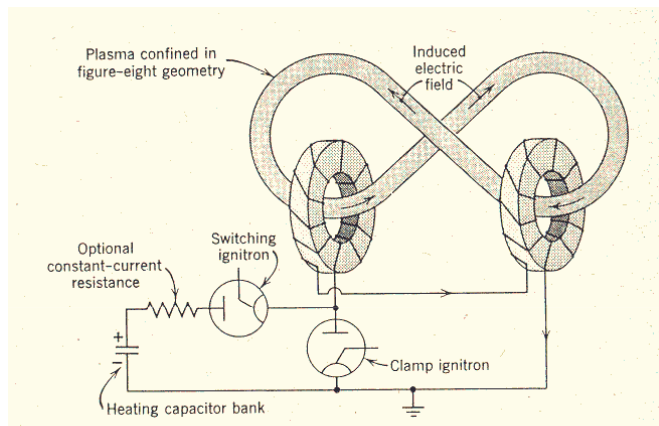
Einschluss in longitudinale Magnetfeld

- Projekt Matterhorn
- Fusionsforschung - Stellarators, Tokamaks
- LEPTA – Ring
- CNT – Columbia Non-neutral Torus
- MECO Projekt
- Elektronenstrahlen für Plasmaheizen
- Elektronkühler, Detektoren



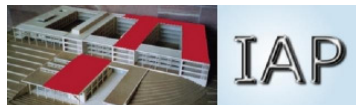
22.05.2010

Projekt Matterhorn (1951-1958)

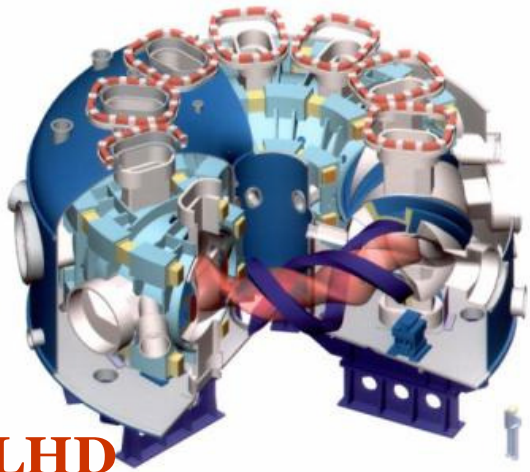


Plasmaeinschluss – [ms] Bereich, induziertes Magnetfeld die natürliche Rotation der Feldlinien auf der Flussfläche wird aufgehoben

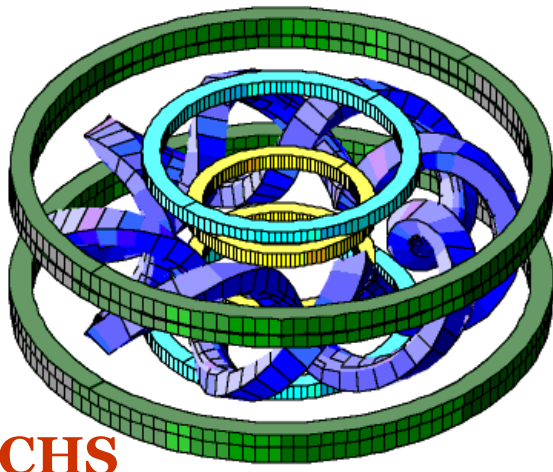
“runaway electrons” – Einschluss in sekunden



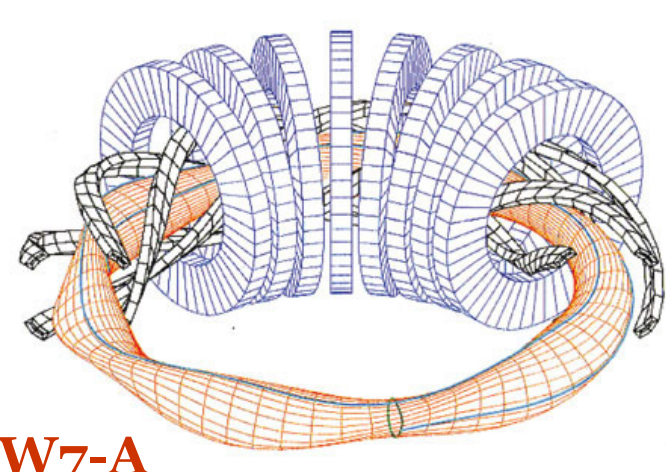
22.05.2010



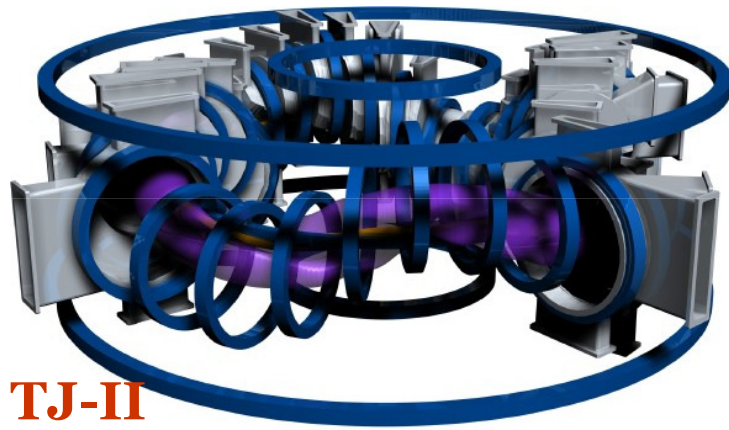
LHD



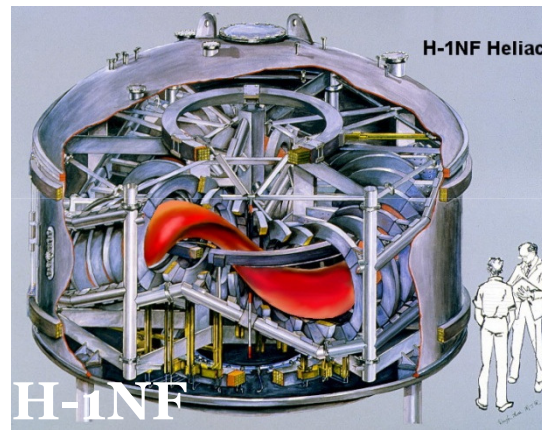
CHS



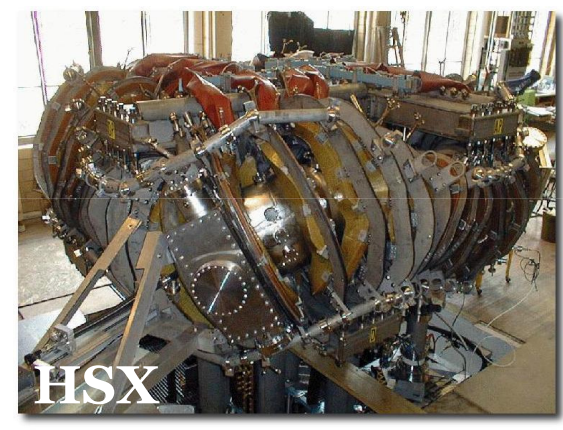
W7-A



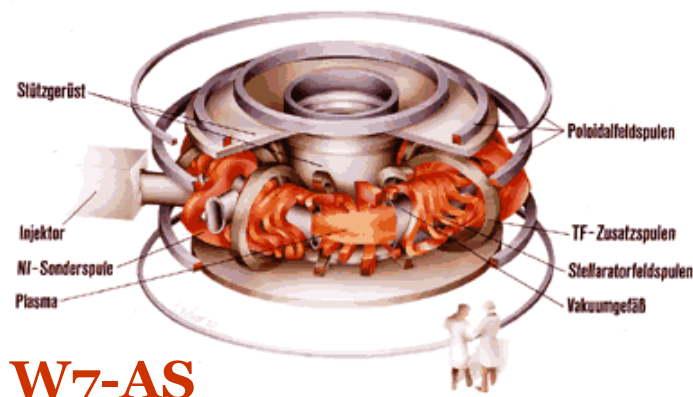
TJ-II



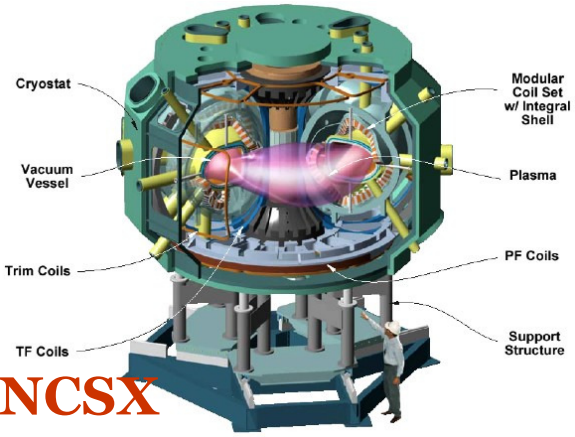
H-1NF



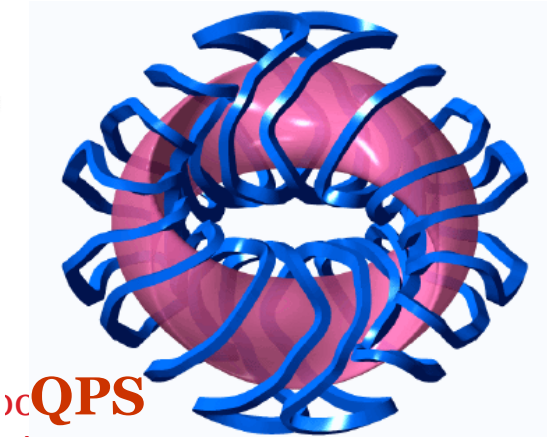
HSX



W7-AS
Wendelstein VII-AS

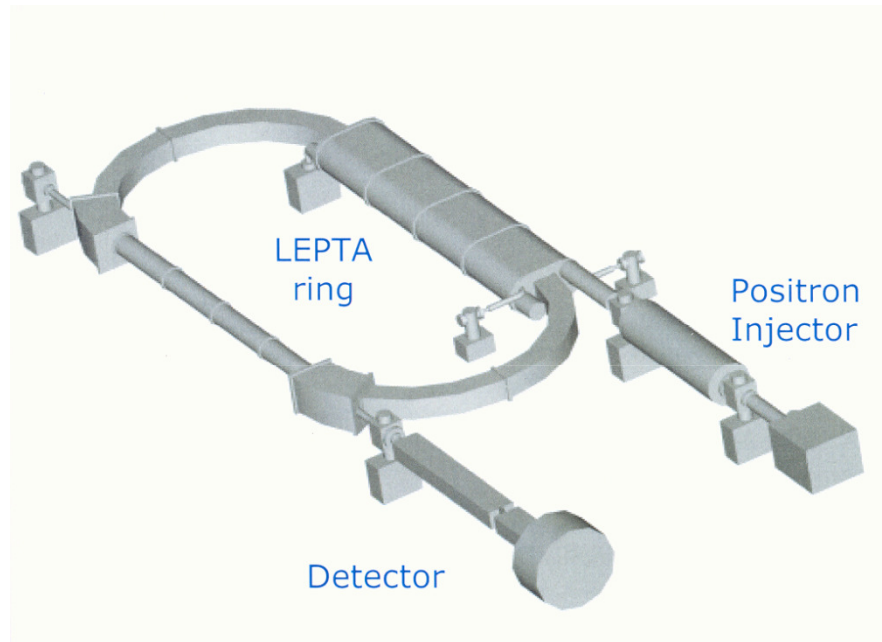


NCSX

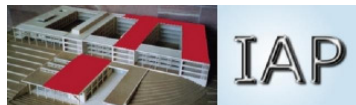


QPS

LEPTA (Low Energy Positron Storage Ring)

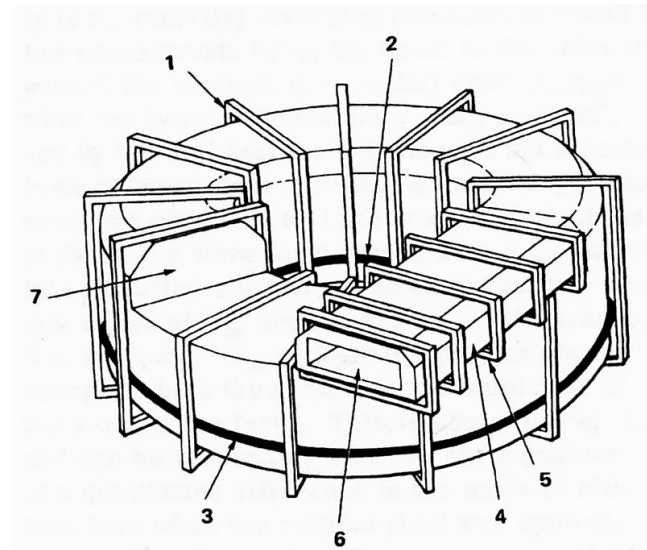
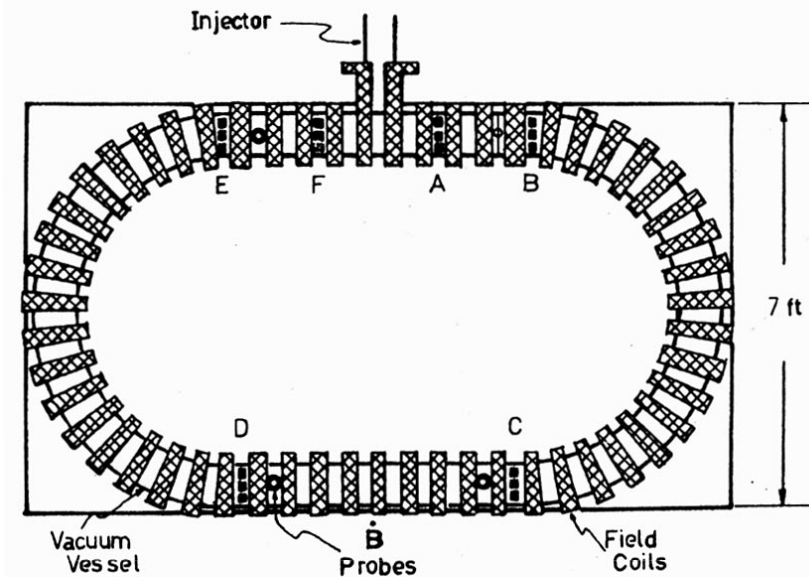


- 10keV, 300ns, L=18.12 m
- Elektronenkühlung -> Positronfluss
- Positronium
- Anti-hydrogen “in-flight”
- Einschluss -> 100s

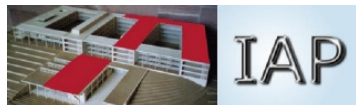


22.05.2010

- P.Gillad (Cornell University, USA,1974)
 - relativistische Elektronstrahl (50 ns, 400 kV, 20 kA)
 - 3.8 kG, trapping für 300 ns, Gasdruck 1.5 Torr
 - R=91cm, r=6.35cm
- J. Benford (Physics int. company, California, USA, 1974)
 - Injektor für relativistische Elektronenstrahlen (10 kA, 40 ns, 0.96 – 1.75 MeV)
 - Toroidale Feld 2.35 kG
 - Driftkompensation durch verticale Dipolfeld 400-800 G
 - Stickstoffgas – 1000 Torr schnelle Raumladungskompensation



7.



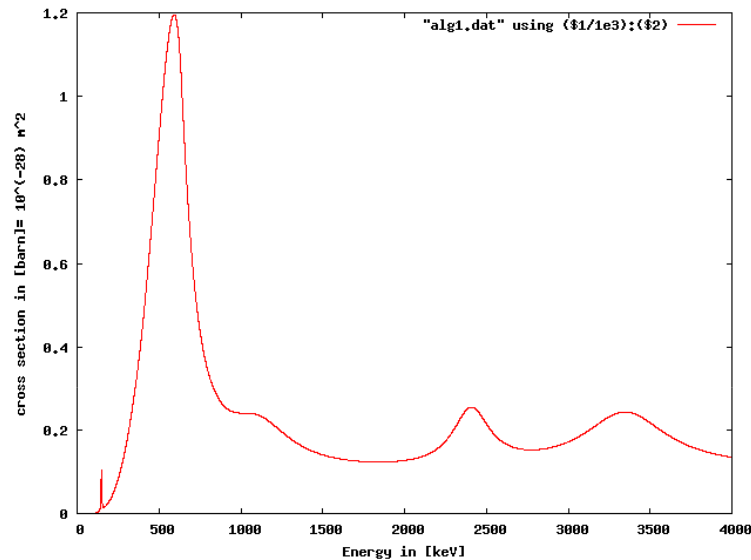
Hochstromspeicherring

- Speicherringe mit longitudinalem Magnetfeld
($W \sim 100 \text{ A keV} - 1 \text{ A MeV}$)
- Fusionsquerschnitte
- Mehrteilchenreaktionen – Multispezies
- Sekundärteilchenspeicherung
- Multi-Ionisationsprozesse von leichten Atomen bei Wechselwirkung mit intensiven niederenergetischen Protonenstrahlen
- Raumladungskompensation – Restgaselektronen
Elektronenstrahl
- Strahlkühlung, Kristalline-Strahlen



22.05.2010

$^{11}\text{B} + \text{p}$ Reaction

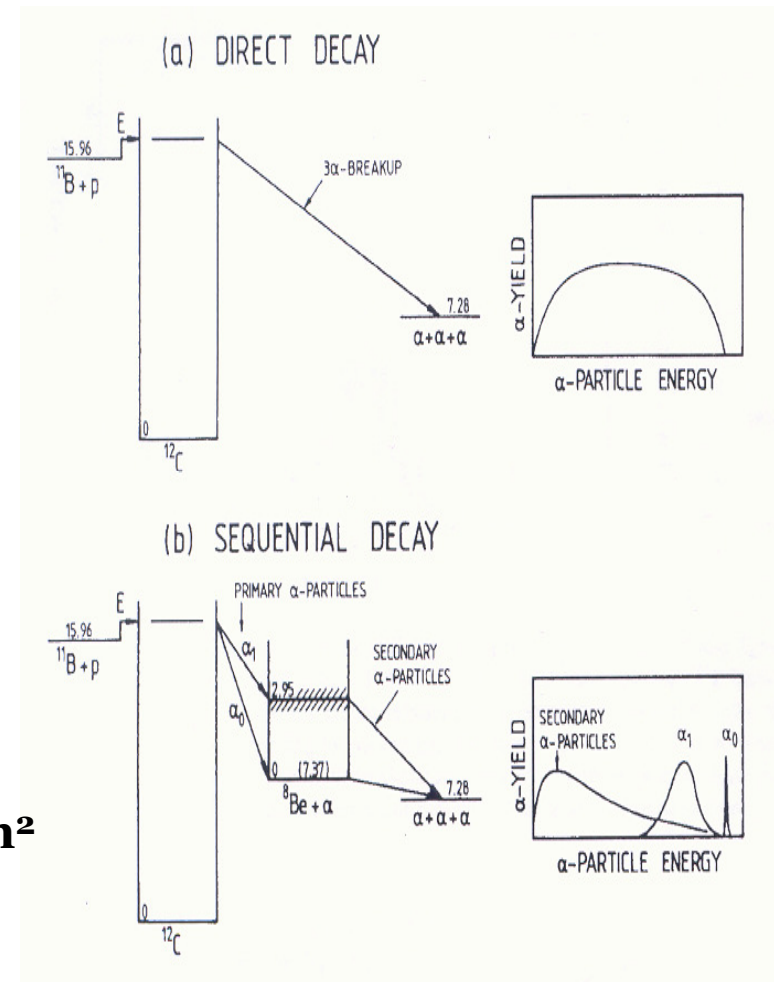


Fusionsreaktion



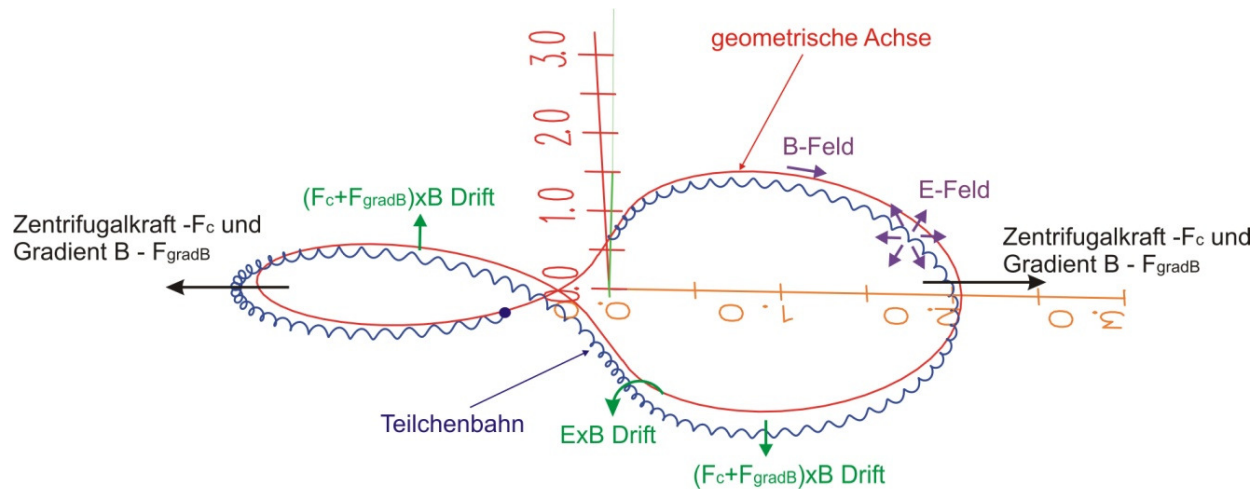
$$\text{Reaktionsquerschnitt } \sigma_{\text{max}} \sim 10^{-28} \text{ m}^2$$

Relaxationsprozesse – Strahl zur NNP

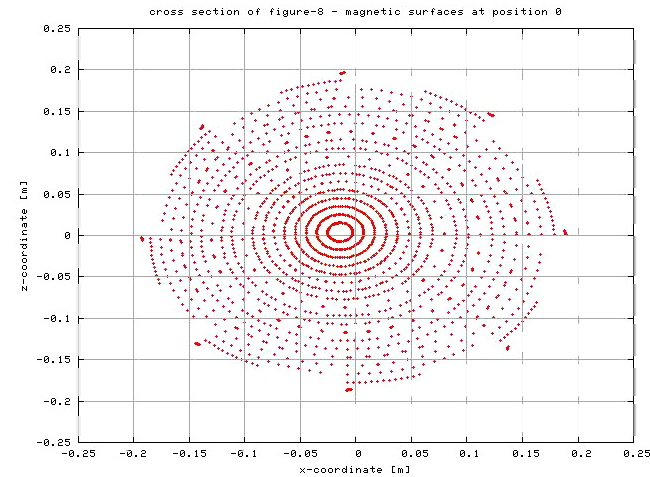
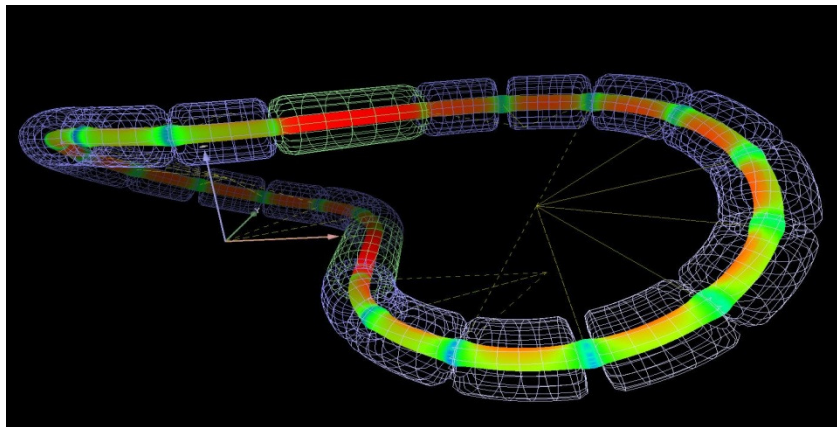


22.05.2010

Figure-8 Hochstromspeicherring

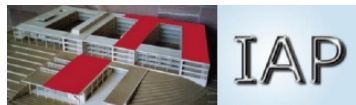


- 1 **R ~ 1m**
- 1 **r ~ 0.15m**
- 1 **L ~ 10m**
- 1 **22 Segmente**
- 1 **h ~ 1m**
- 1 **B ~ 5T**
- 1 **I ~ 10A**



22.05.2010

Zyklotronfrequenz ω_c [s ⁻¹] @5T	$4.8 \cdot 10^8$
Brillouin-Limit n_B [m ⁻³]	$6.6 \cdot 10^{16}$
Strahlradius a [m]	>0.02
Debye-Länge [m]	$3 \cdot 10^{-4}$
ExB Rotationsfrequenz [s]	$5.2 \cdot 10^{-10}$
UHV ($n \sim 10^{12} \text{ m}^{-3} \sim 4 \cdot 10^{-11} \text{ hPa}$) Stoßfrequenz τ_c [s]	12.5
NNP Einschusszeit in toroidalen Magnetfeldern (Crooks 1994)	$\tau \approx \tau_c \cdot (R/\lambda_D)^2$
NNP Einschusszeiten auf magnetischen Flächen (Pedersen 2003)	$\tau \approx \tau_c \cdot (a/\lambda_D)^4$



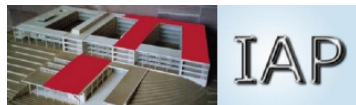
22.05.2010

Simulationsprogramme

- **Magnetfeld – Biot-Savart solver**
(Predictor-Corrector method, Field-line integration –1D information)
- **Frequenzdekomposition – FFT (1D => 2D)**
- **Generierung von numerischen Gitter – in Clebsch-Koordinaten**
 $\psi \in (0,1)$, $\theta \in (0,2\pi)$, $\xi \in (0,2\pi)$
- **Poissongleichung (PIC – Particle in cell)**
- **Bewegungsgleichungen in Guiding-center-Koordinaten**

Parallele Rechnercluster CSC (Centre for Scientific Computing) <http://www.csc.uni-frankfurt.de>

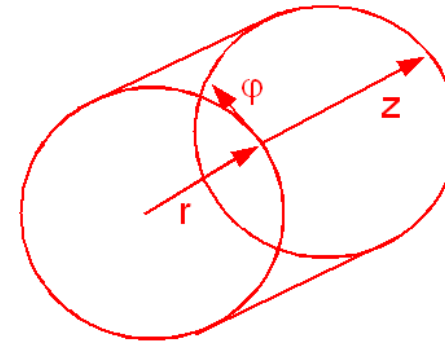
Bis zu 60 Prozessoren, 10Mio Makroteilchen



22.05.2010

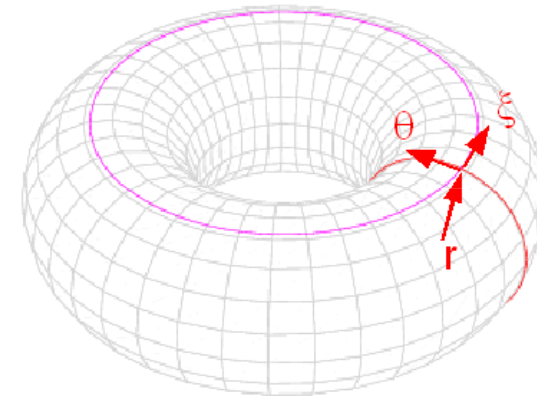
Cylindrische Koordinaten

r, φ, z



Toroidale Koordinaten

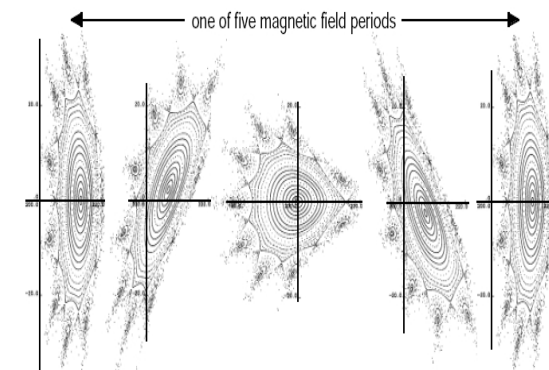
r, θ, ξ



Magnetische Koordinaten

(Clebsch, Boozer.....)

ψ, θ, ξ ψ, α, χ



Koordinatensystem - Guiding center

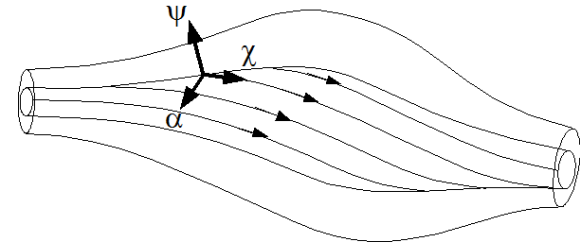
Poloidale Winkel $\theta \in \langle 0, 2\pi \rangle$

Toroidale Winkel $\xi \in \langle 0, 2\pi \rangle$

Normierte magnetische Flusskoordinate $\tilde{\psi} \in \langle 0, 1 \rangle$, $\tilde{\psi} = \frac{\psi}{\psi_{max}}$

Kontravariante Representation $\vec{B} = 2\pi \vec{\nabla}(\theta - i\xi) \times \vec{\nabla}\psi$

Kovariante Representation $\vec{B} = \vec{\nabla}\chi = g\vec{\nabla}\xi$



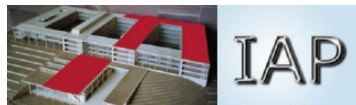
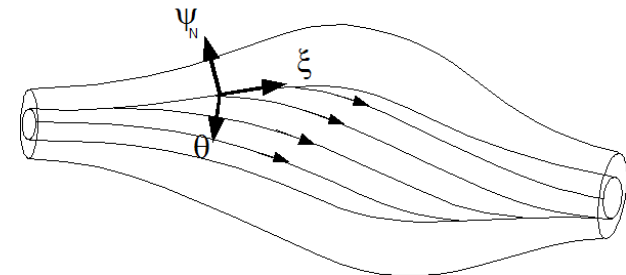
Kanonische Variablen

$$\theta, P_\theta = \frac{q\psi}{2\pi}, \xi, P_\xi = \frac{\mu_0 G}{2\pi|B|} m v_{||} - i \frac{q\psi}{2\pi}$$

$$g = \frac{\mu_0 G}{2\pi}$$

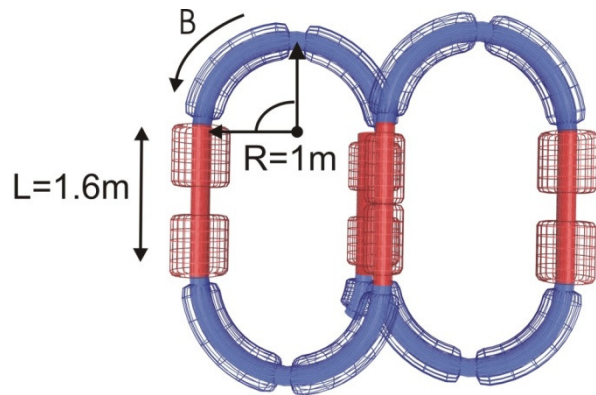
Drift Hamiltonian

$$H = \frac{1}{2m} \frac{(P_\xi + iP_\theta)^2 (2\pi)^2 |B|^2}{\mu_0^2 G^2 m^2} + \mu|B| + q\phi$$



22.05.2010

F8SR – Strahldynamik in starken gekoppelten Magnetfeldern



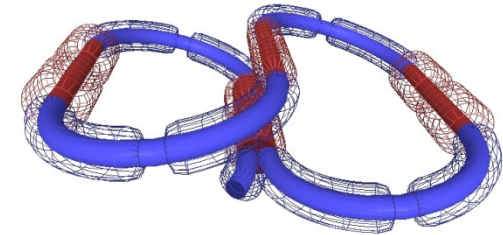
Strahlenergie: $W_b = 150\text{keV}$

Strahlstrom: $I = 10\text{A}$

Umlaufzeit: $t = 2\mu\text{s}$

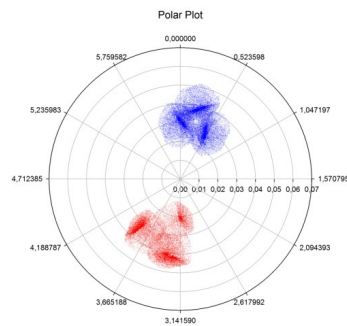
Gespeicherte Energie und Peakleistung

$$E = 3\text{J} \quad \Rightarrow \quad P_{\text{peak}} = 1,5\text{MW}$$



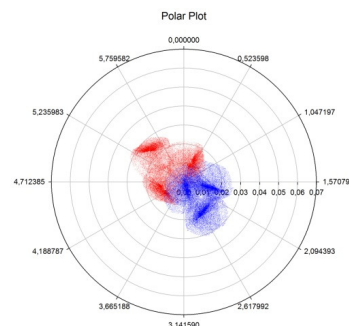
- Rot – Strahl parallel zum B-Feld
- Blau – Strahl antiparallel zum B-Feld

Injektion



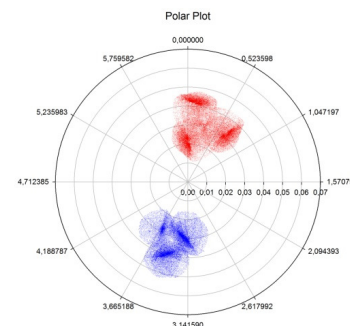
Col 11 vs Col 2
Col 23 vs Col 14

$\pi / 2$ - Experiment



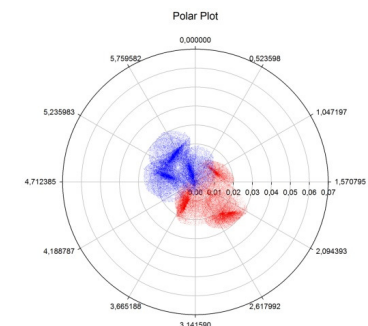
Col 11 vs Col 2
Col 23 vs Col 14

π - Brücke

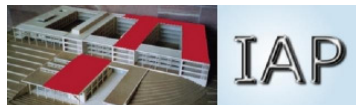


Col 11 vs Col 2
Col 23 vs Col 14

$3\pi / 2$



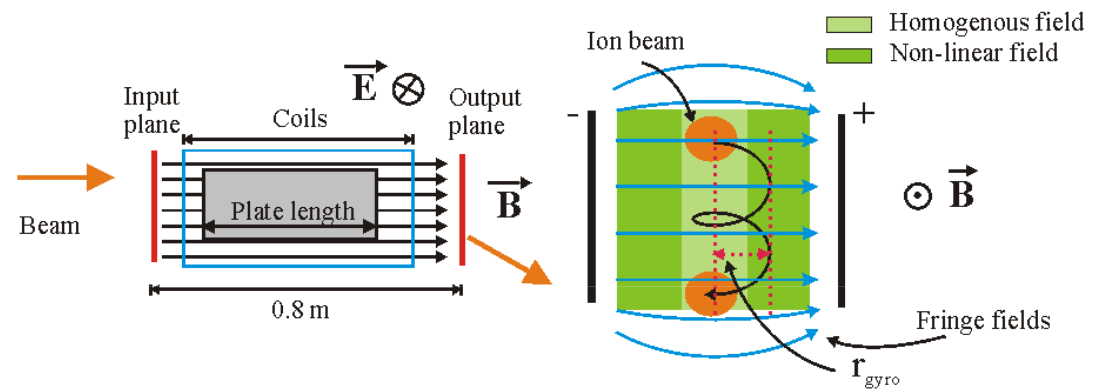
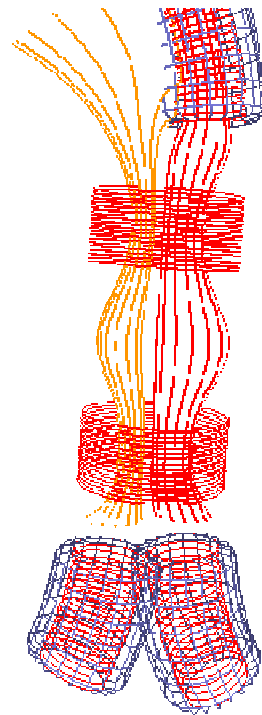
Col 11 vs Col 2
Col 23 vs Col 14



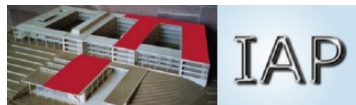
IAP

22.05.2010

Injektionssystem

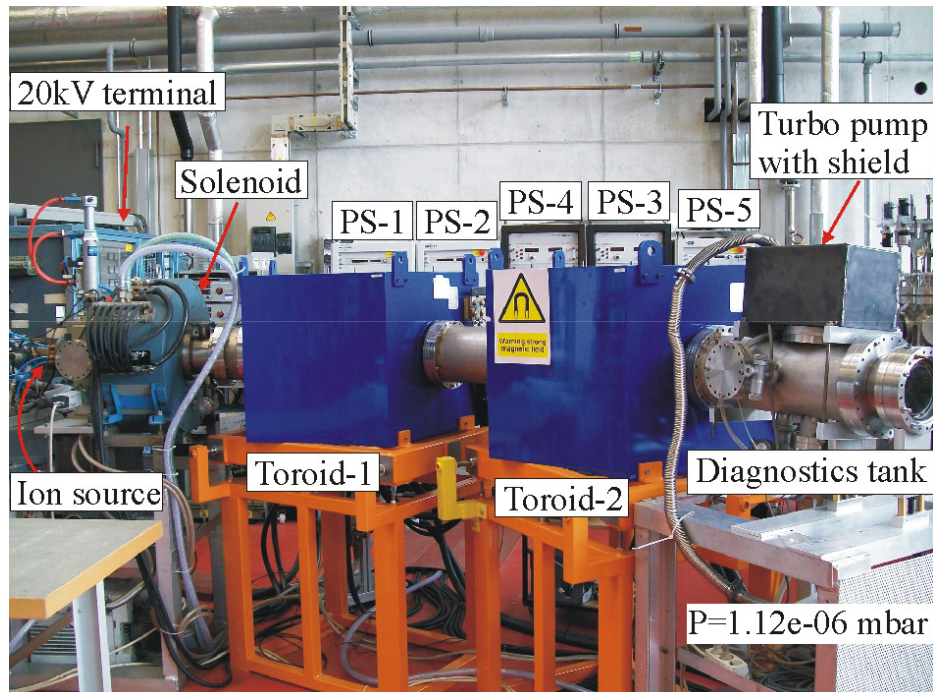


- Anpassungskanal
- ExB - Kickersystem

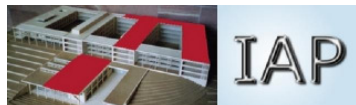


22.05.2010

Toroidale Strahltransportexperimente



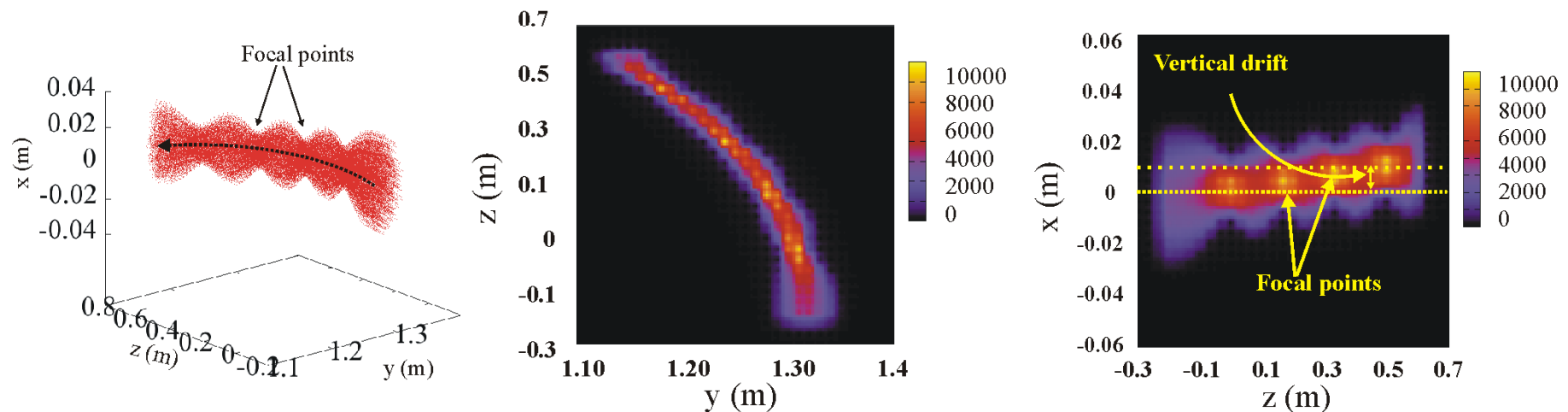
- Strahlinjektion
- Strahltransport
- Simulation-Experiment Vergleich
- Diagnose
- Abschirmung



22.05.2010

Strahltransport in gekrümmten Magnetfeldern

- Simulation Code TBT(toroidal beam transport)
- PIC Routine, Multispecie
- Realistische Feldern -> file input
- 10^6 Macro-particles (CSC cluster)
- 50^*50^*180 Grid points



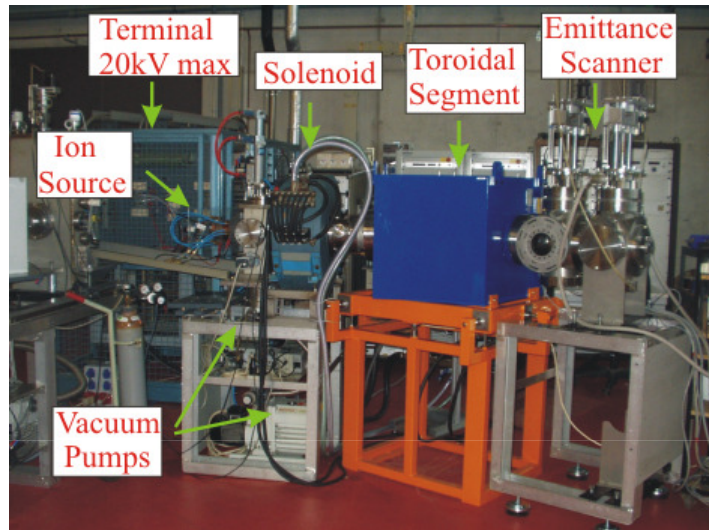
Beispiel : proton 10keV $B \sim 0.6$ T Drift ~ 15 mm



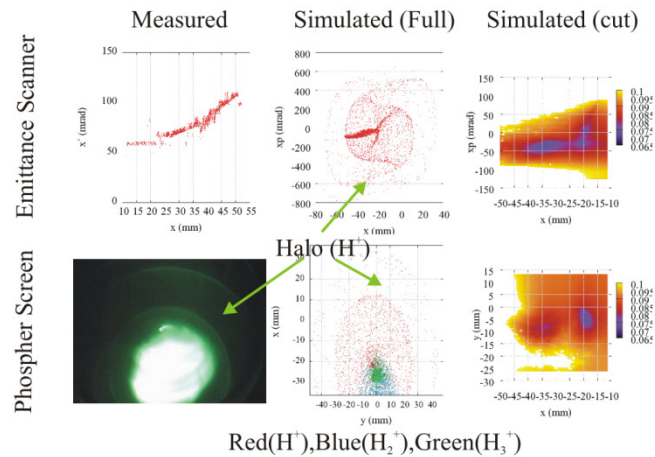
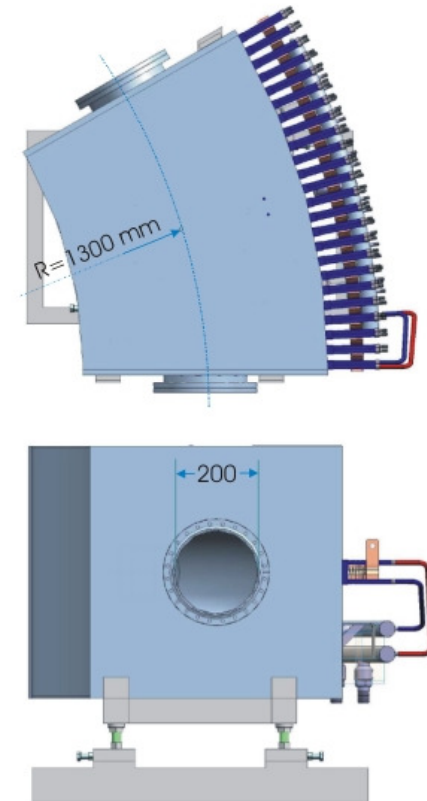
M. Droba, IAP, NNP

22.05.2010

Toroidaler Strahltransport - skaliertes Experiment

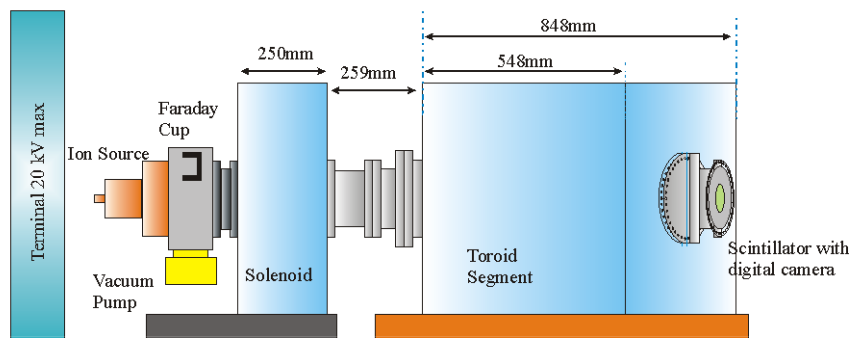


Strahlenergie	2 – 15 keV
Strahlstrom	0 – 5 mA
Ionen	He^+ , p , H_2^+ , H_3^+
$ B _{max}$	0,6 T
Krümmungswinkel	30°
Krümmungsradius	1,3 m

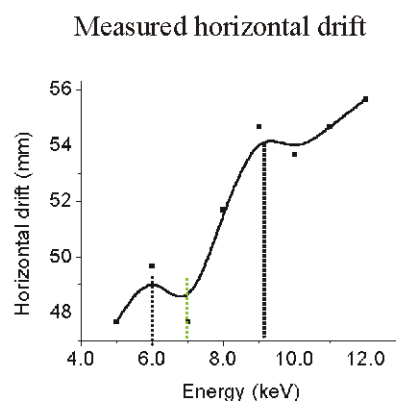
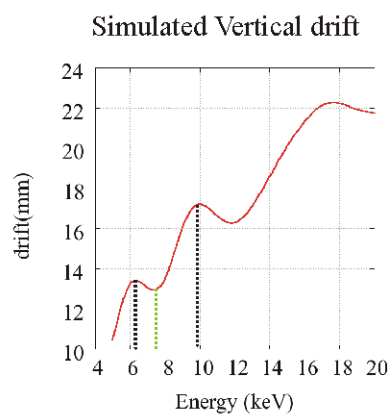


22.05.2010

Messungen - Strahlenergievariation



Diagnose – statisch
Im Randfeld des Toroids
Verticale Drift ~
horizontale Position

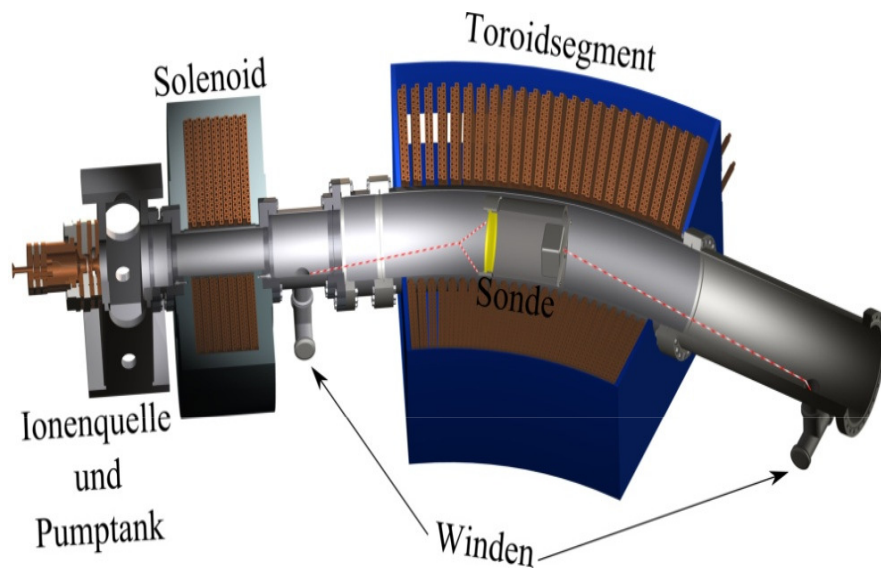


Kopplung der vertikalen und
horizontalen Ebenen

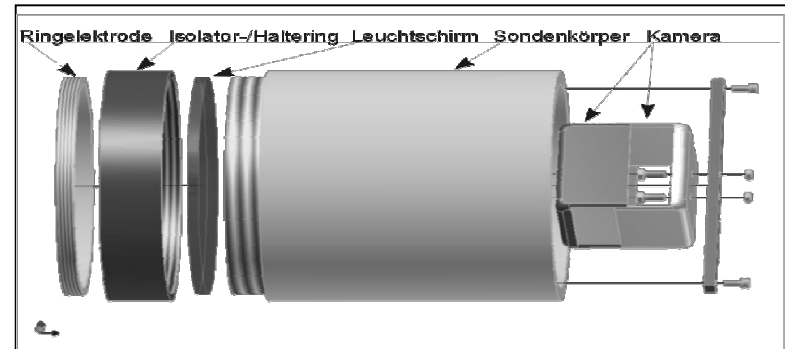


22.05.2010

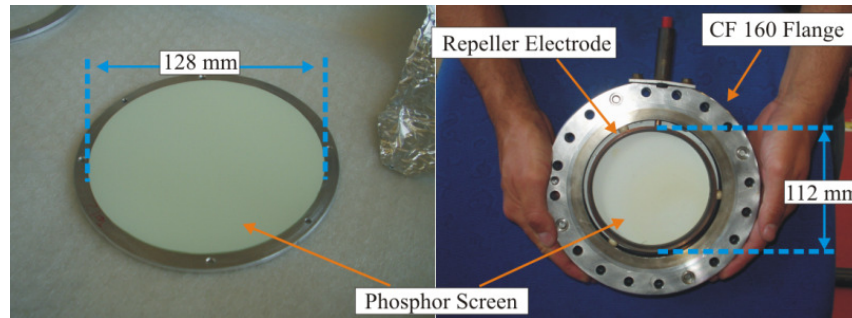
Optische Strahldiagnose



Aufbau der Sonde

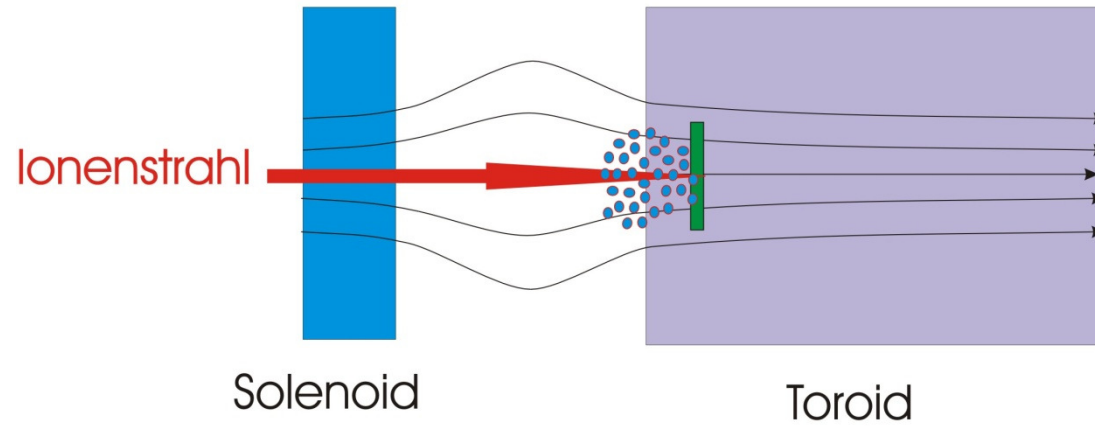


Länge: ca. 220 mm
 Durchmesser: 180 mm
 Gewicht: ca. 3 kg
 Material: Aluminium, PVC



22.05.2010

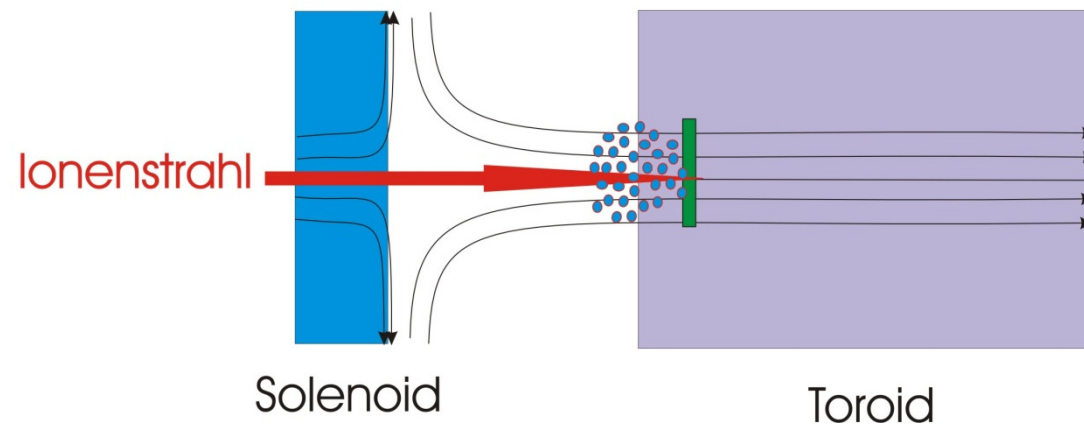
Magnetische Flasche



Strahlinduzierte NNP

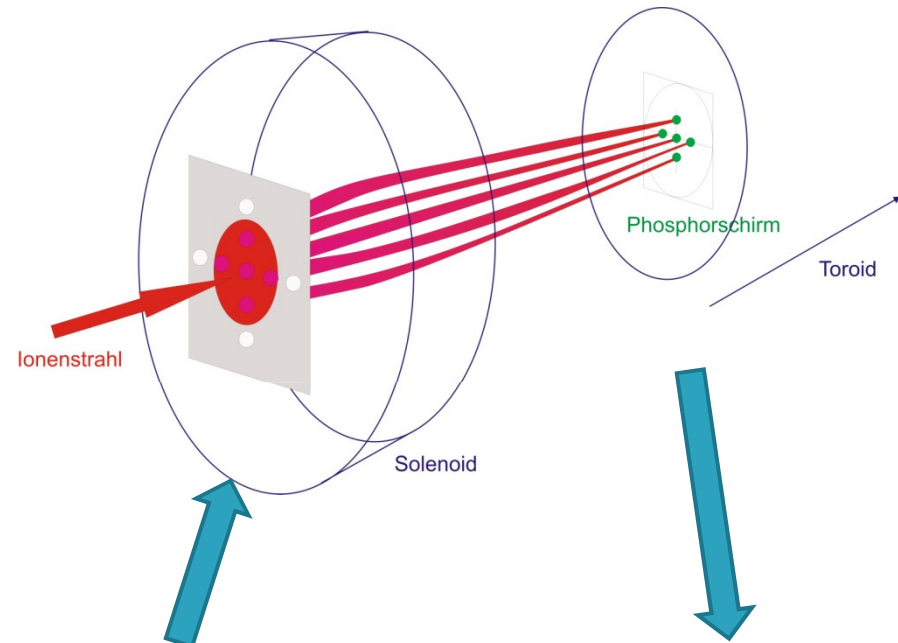
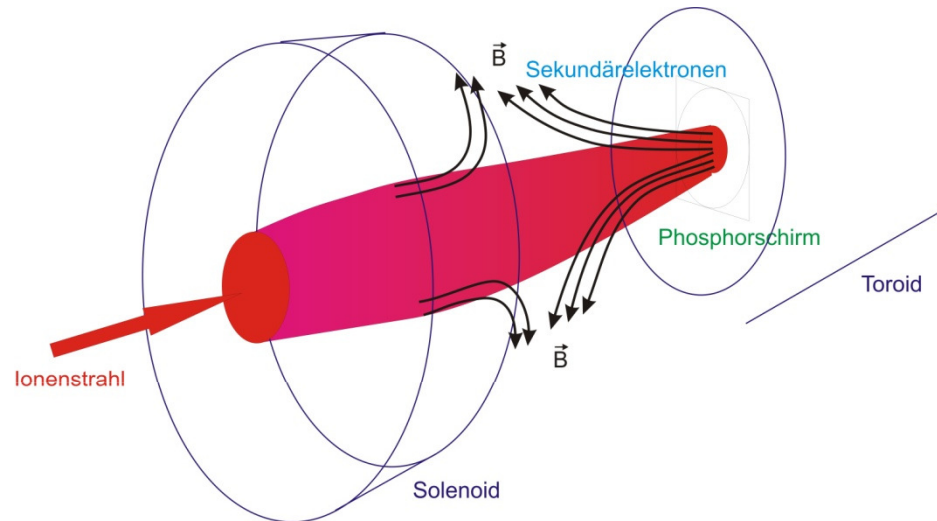
Eingeschlossene Elektrone
Beeinflussung des Strahl-
transports

Cusp



22.05.2010

Strahlinduzierte NNP

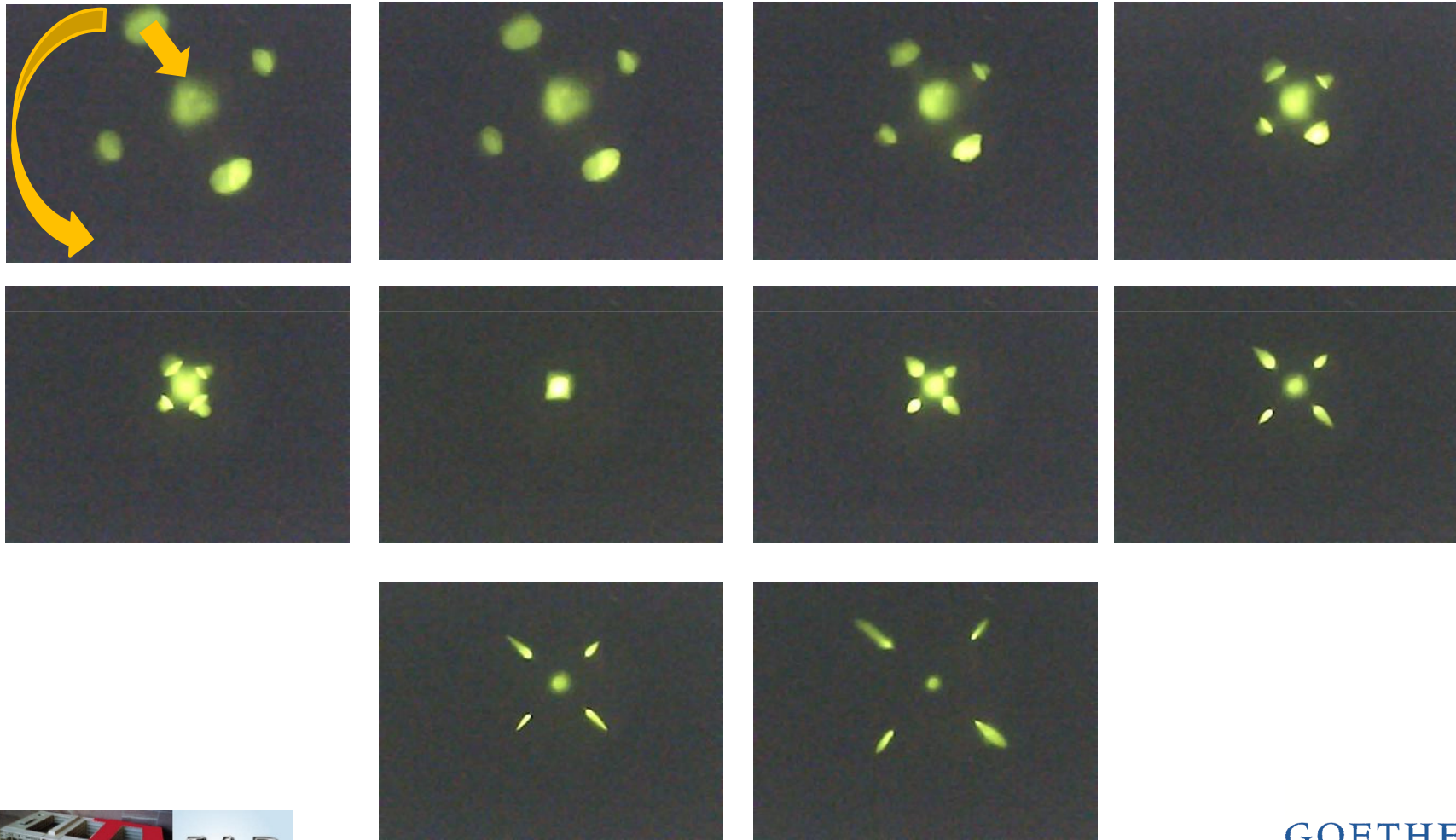


- Strahlblende am Eingang
- Durchmesser der Löcher
2mm - Horizontal
3mm und 4mm - Vertikal

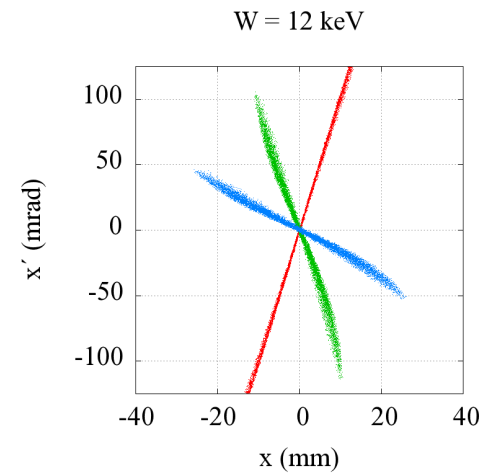
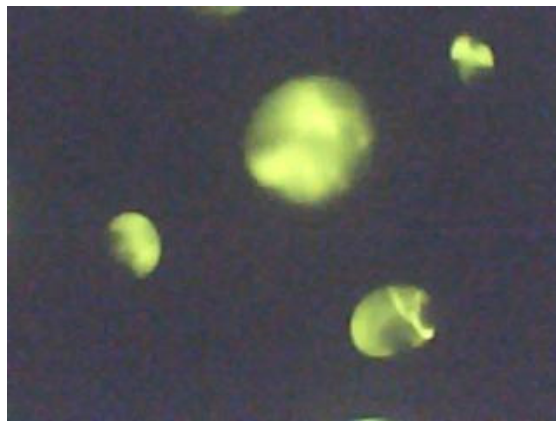
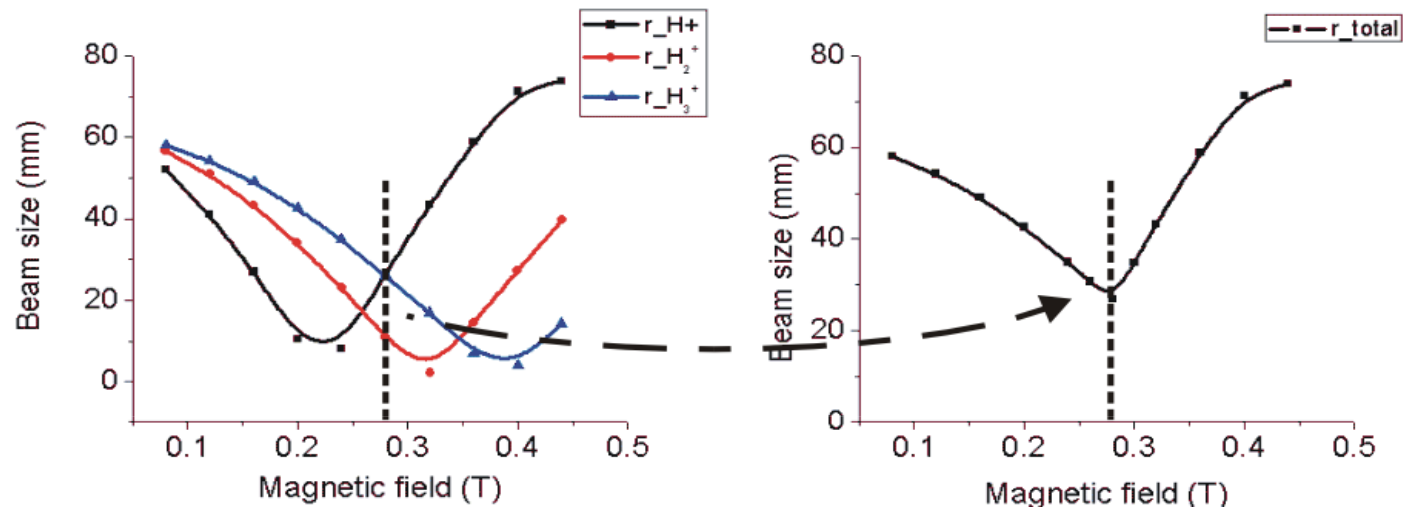


22.05.2010

- He – Strahl 8 keV
- Fokussierende Solenoid 0.4T – 0.52T (Rotation+Fokussierung)



- p – Strahl 8 keV (auch Komponenten H_2^+ , H_3^+)
- Solenoidales Magnetfeld varriert




- p – Strahl 8 keV (auch Komponenten H_2^+ , H_3^+)
- Solenoidales Magnetfeld varriert





Proton ○
 H_2^+ ○
 H_3^+ ○

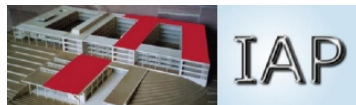
- p – Strahl 8 keV (auch Komponenten H_2^+ , H_3^+)
- Solenoidales Magnetfeld varriert



Proton 


H_2^+ 


H_3^+ 




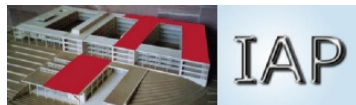
- p – Strahl 8 keV (auch Komponenten H_2^+ , H_3^+)
- Solenoidales Magnetfeld varriert



Proton 

H_2^+ 

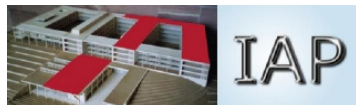
H_3^+ 



- p – Strahl 8 keV (auch Komponenten H_2^+ , H_3^+)
- Solenoidales Magnetfeld varriert



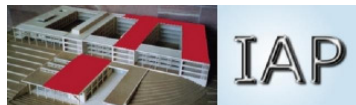
Proton ○
 H_2^+ ○
 H_3^+ ○



- p – Strahl 8 keV (auch Komponenten H_2^+ , H_3^+)
- Solenoidales Magnetfeld varriert





Proton ○
 H_2^+ ○
 H_3^+ ○




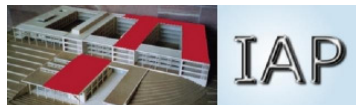
- p – Strahl 8 keV (auch Komponenten H_2^+ , H_3^+)
- Solenoidales Magnetfeld varriert



Proton 


H_2^+ 


H_3^+ 




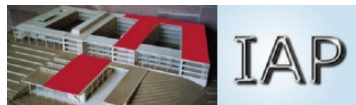
- p – Strahl 8 keV (auch Komponenten H_2^+ , H_3^+)
- Solenoidales Magnetfeld varriert



Proton 


H_2^+ 


H_3^+ 




- p – Strahl 8 keV (auch Komponenten H_2^+ , H_3^+)
- Solenoidales Magnetfeld varriert



Proton 

H_2^+ 

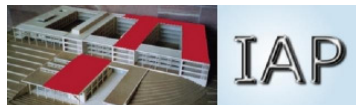
H_3^+ 



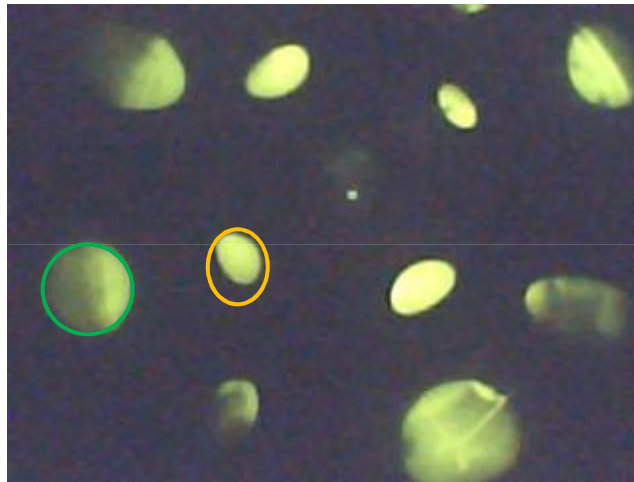
- p – Strahl 8 keV (auch Komponenten H_2^+ , H_3^+)
- Solenoidales Magnetfeld varriert





Proton ○
 H_2^+ ○
 H_3^+ ○




- p – Strahl 8 keV (auch Komponenten H_2^+ , H_3^+)
- Solenoidales Magnetfeld varriert

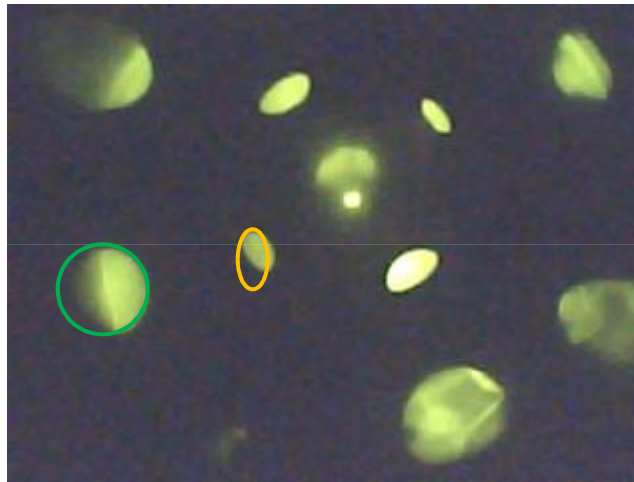



Proton 


H_2^+ 


H_3^+ 

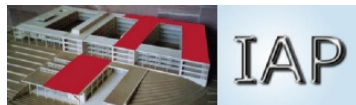
- p – Strahl 8 keV (auch Komponenten H_2^+ , H_3^+)
- Solenoidales Magnetfeld varriert



Proton 

H_2^+ 

H_3^+ 




- p – Strahl 8 keV (auch Komponenten H_2^+ , H_3^+)
- Solenoidales Magnetfeld varriert





Proton ○
 H_2^+ ○
 H_3^+ ○

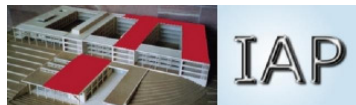
- p – Strahl 8 keV (auch Komponenten H_2^+ , H_3^+)
- Solenoidales Magnetfeld varriert



Proton 

H_2^+ 

H_3^+ 




- p – Strahl 8 keV (auch Komponenten H_2^+ , H_3^+)
- Solenoidales Magnetfeld varriert





Proton ○
 H_2^+ ○
 H_3^+ ○

- p – Strahl 8 keV (auch Komponenten H_2^+ , H_3^+)
- Solenoidales Magnetfeld varriert



Proton 

H_2^+ 

H_3^+ 

- p – Strahl 8 keV (auch Komponenten H_2^+ , H_3^+)
- Solenoidales Magnetfeld varriert



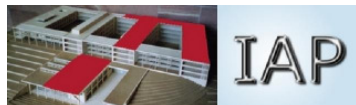
Proton



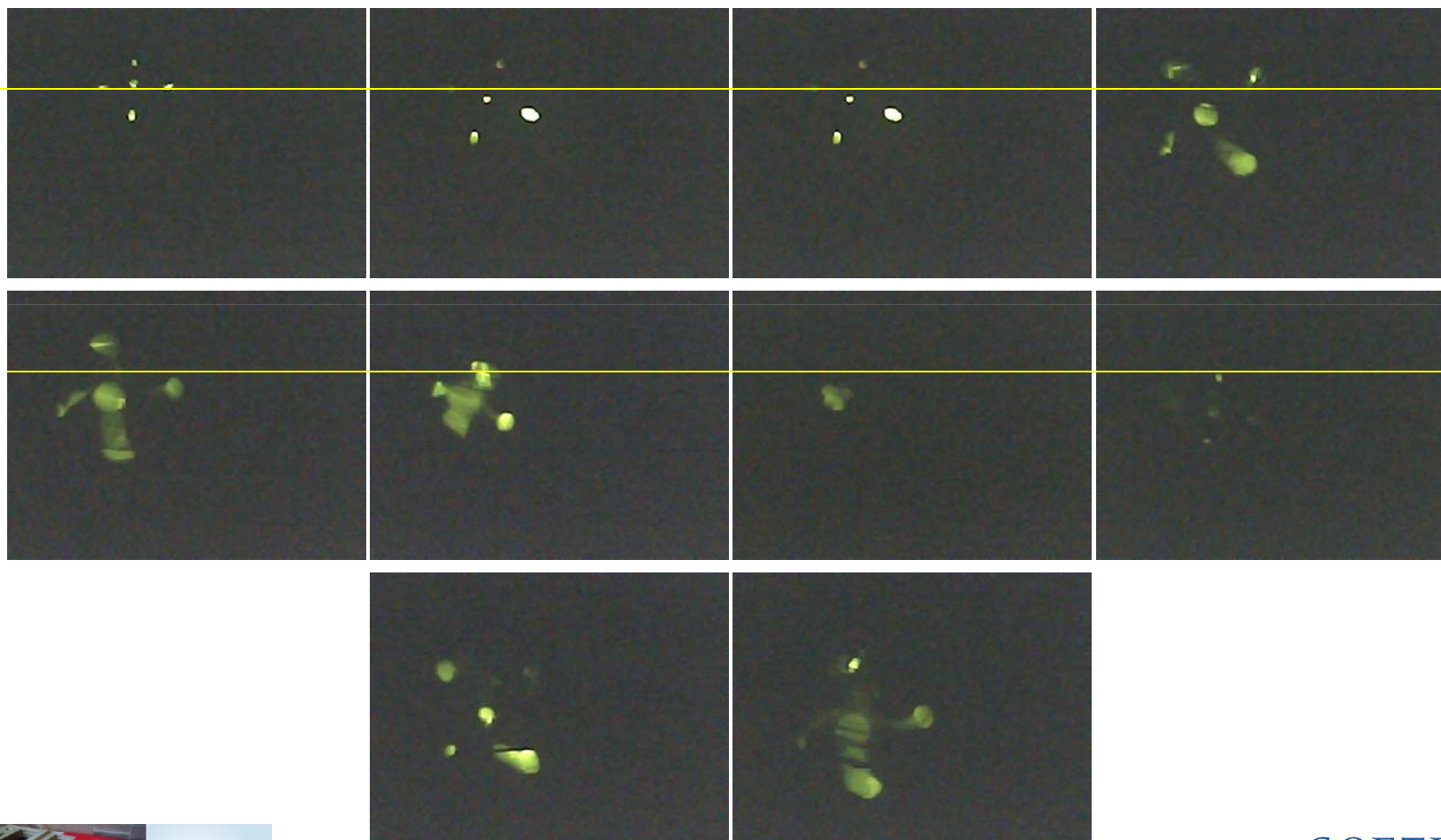
H_2^+ ,



H_3^+

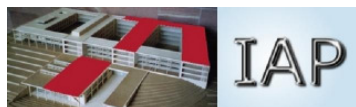
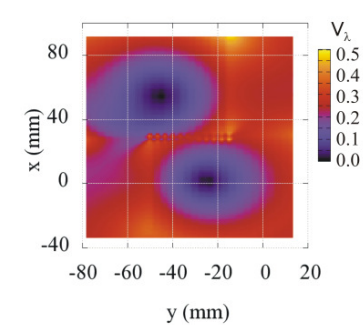
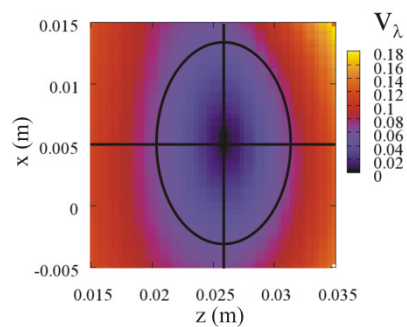
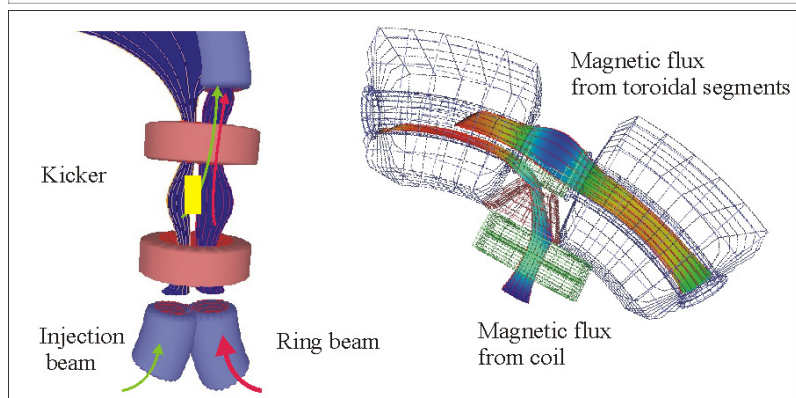
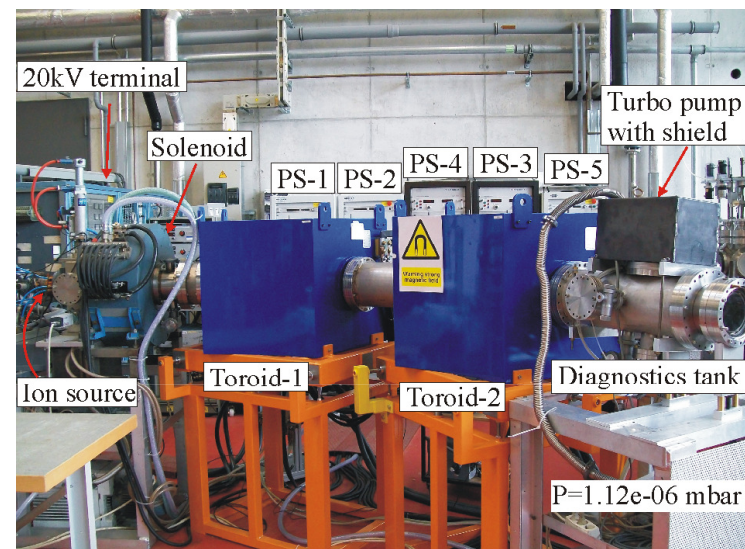
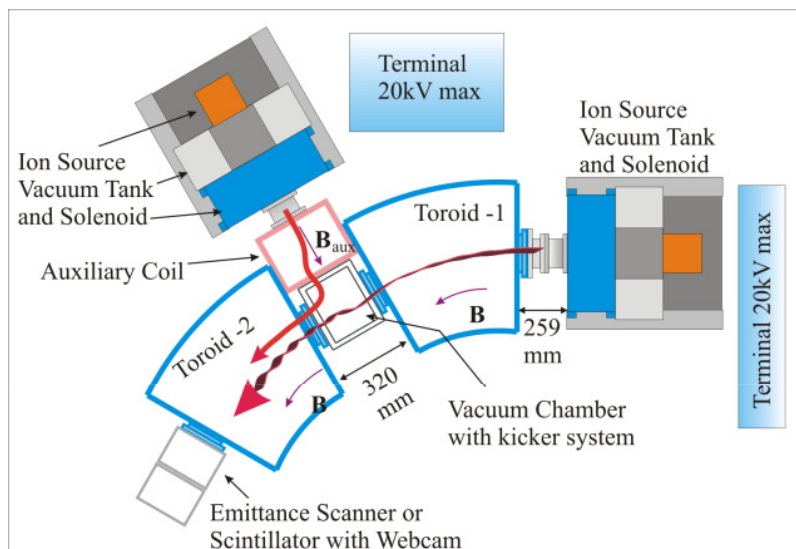


- He – Strahl 8 keV, Solenoid $B=0.26\text{T}$, Toroid $B=0.53\text{T}$
- Schirm longitudinal bewegt entlang der Achse position1- position10



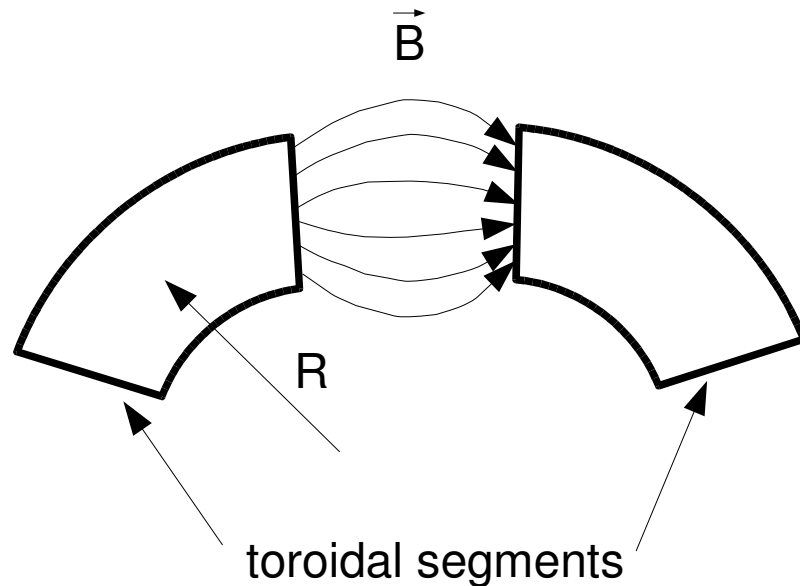
22.05.2010

Injektionsexperiment

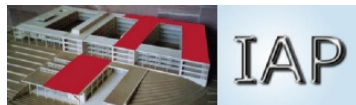


22.05.2010

Ausblick - Toroidale Transport

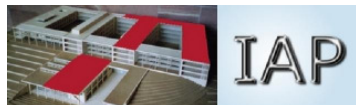
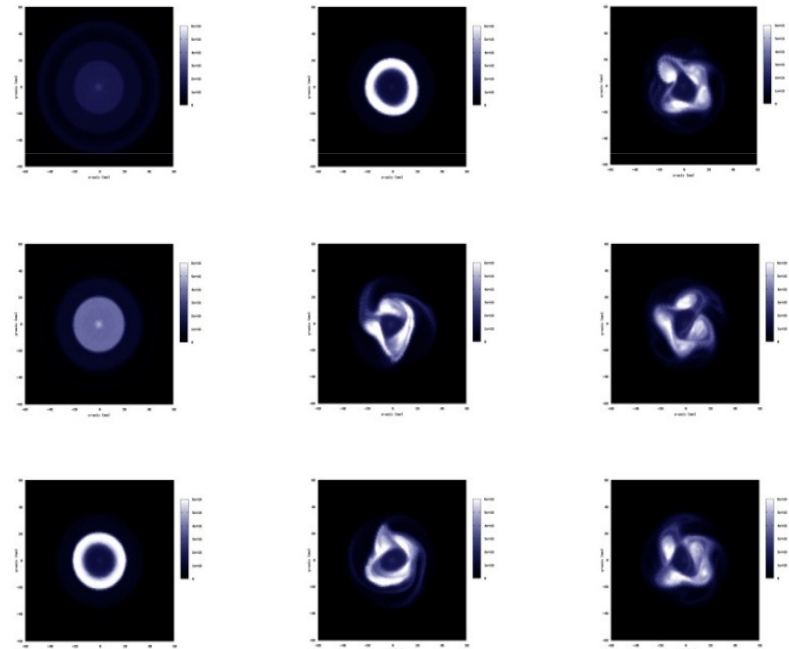
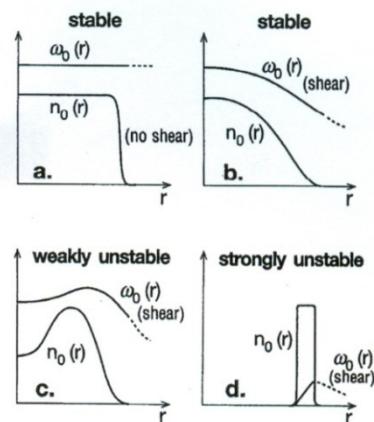
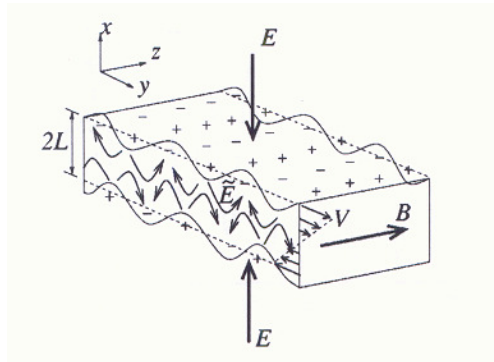


- Kompensations-
elektronen in
Spiegelkonfiguration
- Driften – $E \times B$,
Zentrifugalkraft, grad B
Umverteilung der
Impulse



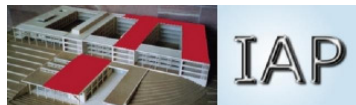
Ausblick - Stability

- Raumladung \rightarrow ExB Bewegung
- Hohlprofil \rightarrow Diocotroninstabilität
- Kink- instabilität



Ausblick

- Untersuchung von Raumladungskompensation im toroidalen Strahltransport
- Untersuchung von Strahlinstabilitäten
- Aufbau von Injektionsexperiment
- Weiterentwicklung der optischen Strahldiagnose



22.05.2010